

東京大学 正員 市川 新  
 ○ 建設省 正員 高野 匠裕  
 東京大学 志村 近史

降雨初期に 雨水吐から放流される汚水がかなりの高負荷を含むことは これまでに指摘されてきておりであるが、その対策を考えた場合 十分な機構解明がされていっているとは言い難い。本研究では 下水道計画における重要な問題点であり雨天時下水の処理を行なうにあたっての基礎的な研究として 負荷流出機構のモデル化を中心に、雨天時下水の特徴、並びに汚濁源に関する検討を行なった。モデルの検討及びシミュレーションにあたっては、全国の10都市（合流式）における建設省土木研究所による測定データを利用した。

### 1 負荷流出の事例（横浜市）

昭和51年9月9日の降雨について 流量、負荷流出速度の時間変動を図-1に示した。  
 BODの負荷流出速度は降雨開始後1時間程の間 晴天時を大きく上回っているが、それ以降は晴天時を下回っている。降雨初期の流出負荷の増大は著しく（晴天時の約30倍），始めの1時間で約70kg/m<sup>3</sup>の流出があり 測定期間中（6時間）の総流量の約60%を占める。同様に初期30分間では約50kg/m<sup>3</sup>の流出があり、これは50%弱を占めている。また 流量、流出負荷がピークとなる時間を見ると、BODとCODでは負荷濃度—負荷流出速度—流量の順で、それぞれの時刻も一致していることから これら二つの指標では同様の流出機構を持っていることがうかがわれる。それに対してSSでは 流量のピークの後に濃度、負荷ともに最大値となり、流出負荷の増大自体もBOD、CODに比べて差りしいことから 独自の流出形態であると思われる。

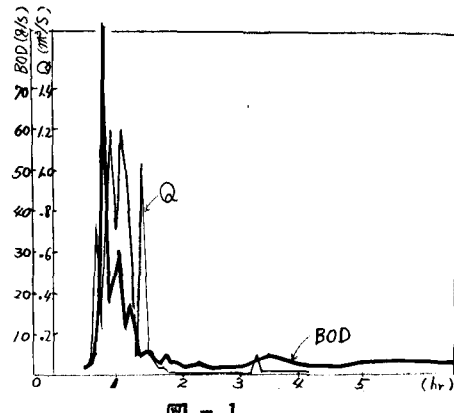


図-1

### 2 雨天時負荷流出シミュレーションモデル

BODについて 雨天時の負荷流出を推定するため、堆積負荷評価モデルを用いてシミュレーションを行なった。このモデルは流出負荷が流量及び堆積負荷量に比例するというもので、次の式によつて表現される。

$$\text{運動方程式} \quad Q_s = K S^m Q^n (Q - Q_c) \quad (1)$$

$$\text{連続式} \quad \dot{Q}_s = DWF - Q_s \quad (2)$$

ここで  $Q_s$  は負荷流出速度、  $S$  は堆積負荷量、  $Q$  は流量、  $Q_c$  は限界稀流量であり、  $DWF$  は晴天時の負荷流出速度、  $K$ 、  $m$ 、  $n$  は定数である。

### 3 式の導入と定数の決定

(1)式における各の値を決定するためには、横浜市における晴天時のデータから負荷流出速度と流量の関係をプロットしたところ ほぼ直線関係が得られた（図-2）。從って  $n=0$  とすることが妥当であると言える。また 直線が原点を通らないことから限界稀流量  $Q_c$  の存在することがわかる。次に雨天時のデータで同様のプロットを行なったのが図-3である。曲線は 図-2の結果に基づき  $Q_s = K'(Q - Q_c)$  という関係を表わしたものである。図

からゆがるうに  $Q$  の増加とともに実測値と曲線のひらきが大きくなつてあり、 $K'$  が漸減しているこ(85)ことがわかる。これは負荷の供給源であり管内堆積量の減少によると考えられるので  $K' = K S^m$  という関係が導入され(1)式が得られる。

#### 4 $K, S_0$ 値の推定と $m$ の決定

(1)式と  $S = S_0 + AS$  という関係から

$$\{ Q_S / (Q - Q_0) \}^{1/m} = K^{1/m} \cdot AS + K^{1/m} \cdot S_0 \quad (3)$$

が得られるが、ここで  $m$  の値は  $K$  と初期負荷堆積量  $S_0$  を与えて始めて決定される。 $AS$ 並びに左辺は実測値であるので、並に  $m$  を適当に与えてやれば最小自乗法により  $K, S_0$  が求まる。その際に最もよい相間を与える  $m$  を試行錯誤により求めることにした。そこで  $m$  を 0.2 から 5.0 まで 0.2 さざみで変えてみたところ、0.2 から 2.0 までは次第によい相間を示すようになるが 2.0 より大きい  $m$  を与えてもそれ以上に高い相間を示すことはなかった。また 相関係数のかわりに誤差の二乗和について検討しても同様の結果であったので、 $m$  の最適値として 2.0 を与えることにした。

#### 5 シミュレーション

以上のことから モデルの式は

$$dS/dt = -KS^2(Q - Q_0) + DWF \quad (4)$$

と決定されたので、この式に基き  $K, S_0$  の算定並びに負荷流出シミュレーションを行なった。BODについての一例を図-4に示す。この例では、初期の流出負荷の増大を十分には再現できなかつた。(横浜市、昭和51年12月17日降雨の例)

#### 6 $K, S_0$ に関する考察

(4)式において負荷流出を実際に左右するのは  $K, S_0$  の値である。そこで本節では  $K, S_0$  の値に影響を与える要因、特に管渠勾配と先行晴天日数について考察とした。

まず、 $S_0$  と先行晴天日数の関係をみるために先行降雨係数  $APF$  ( $APF = \sum (R_t/t) \text{ mm/day}$ ;  $R_t$  は七日前の降雨量( $\text{mm}$ ) )を導入した。前節で求めた  $S_0$  と  $APF$  の関係をプロットしたのが図-5である。また  $K$  と管渠勾配の関係を表わしたのが図-6である。 $S_0$  と  $APF$  の間には負の相関、 $S_0$  と先行晴天日数、 $K$  と管渠勾配の間には正の相間があることがわかる。

7まとめ  
BODの負荷流出は(4)式でかなりよく再現される。今後、 $K, S_0$  に関するより精密な研究が必要となる。

図-2

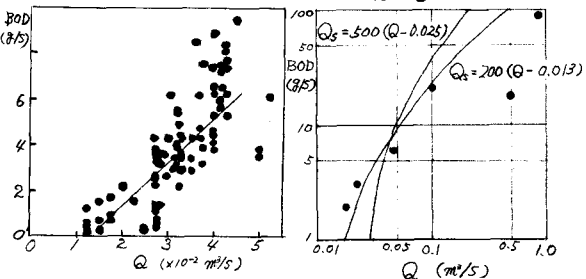


図-3

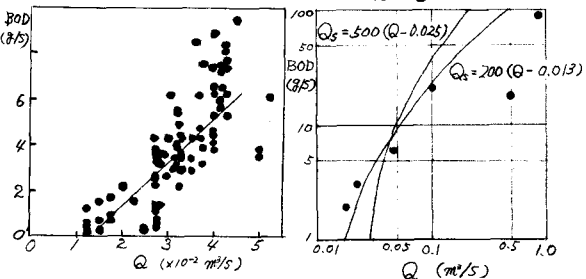


図-4

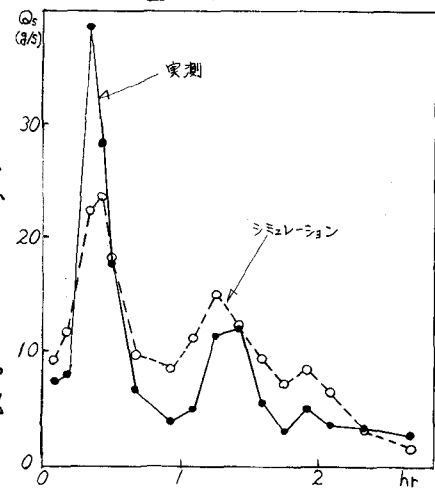


図-5

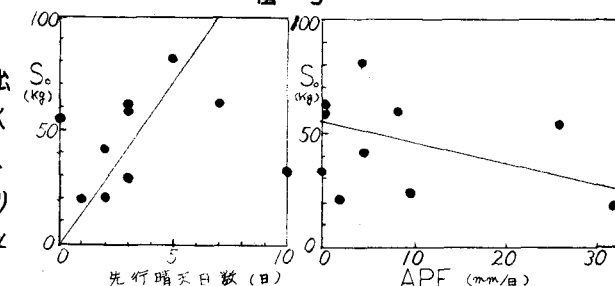


図-6

